



Laboratorium EMVO Sp. J. Urbański, Pawelak

ul. Jasna 1
00-013 Warszawa

tel. +48 22 780 29 64

e-mail: laboratorium@emvo.pl



AB 1630

Sprawozdanie z pomiarów pól elektromagnetycznych - środowisko ogólne nr 03/04/OŚ/2022-P4



Nr i nazwa stacji	ILA0301	
Adres	Kisielice, Al. Wojska Polskiego, dz. nr 30/10, pow. iławski, woj. warmińsko-mazurskie	
Opracowanie	Wiesław Laskowski	Specjalista ds. pomiarów
Autoryzacja	Andrzej Urbański	Kierownik Laboratorium
Podpis		
Data	2022-04-07	

„Bez pisemnej zgody Laboratorium niniejsze sprawozdanie nie może być powielane inaczej, jak tylko w całości. Ponadto wyniki dotyczą tylko badanych obiektów przywołanych w niniejszym sprawozdaniu z badań”

03/04/OŚ/2022-P4

Strona 1 z 11

Spis treści

1. Informacje ogólne.....	3
2. Podstawa prawna.	3
3. Opis pomiarów.....	3
4. Zróżnicowanie dopuszczalne poziomy pól elektromagnetycznych.....	5
5. Charakterystyka źródeł PEM.....	5
6. Wyniki pomiarów.....	6
7. Stwierdzenie zgodności	8
8. Oświadczenie.....	8
9. Spis załączników.	8

1. Informacje ogólne.

Zleceniodawca	P4 Sp. z o.o. , ul. Wynałazek 1, 02-677 Warszawa osoba udzielająca informacji – Magdalena Sokół
Istotne informacje dostarczone przez klienta	komplet informacji niezbędnych do wykonania pomiarów i opracowania sprawozdania
Dane otrzymane od klienta mogące mieć wpływ na ważność wyników	dane anten sektorowych, dane anten radioliniowych, parametry pracy instalacji, poprawka pomiarowa
Prowadzący instalację	P4 sp. z o.o. , ul. Wynałazek 1, 02-677 Warszawa
Lokalizacja obiektu	Kisielice, Al. Wojska Polskiego, dz. nr 30/10, pow. iławski, woj. warmińsko-mazurskie
Miejsce instalacji anten	wieża ciśnień
Miejsce instalacji urządzeń	indoor
Osoby wykonujące pomiar	Roman Murawski- pomiarowiec
Data wykonania pomiaru	2022-04-07
Godzina rozpoczęcia pomiaru	8.20
Godzina zakończenia pomiaru	10.10
Temperatura na początku pomiaru [°C]	13
Temperatura na koniec pomiaru [°C]	13
Warunki atmosferyczne	brak opadów
Wilgotność na początku pomiaru [%]	64,2
Wilgotność na koniec pomiaru [%]	64,2
Inne źródła pól elektromagnetycznych	występują
Tryb pracy urządzeń	eksploatacyjny

2. Podstawa prawna.

2.1 Normy i rozporządzenia:

- Rozporządzeniem Ministra Klimatu z dnia 17 lutego 2020 r. w sprawie sposobów sprawdzania dotrzymania dopuszczalnych poziomów pól elektromagnetycznych w środowisku (Dz.U. 2020 poz. 258)
- Rozporządzenie Ministra Zdrowia z dnia 17 grudnia 2019 r. w sprawie dopuszczalnych poziomów pól elektromagnetycznych w środowisku (Dz.U. 2019 poz. 2448)
- Obwieszczenie Marszałka Sejmu Rzeczypospolitej Polskiej z dnia 19 lipca 2019 r. w sprawie ogłoszenia jednolitego tekstu ustawy - Prawo ochrony środowiska (Dz.U. 2019 poz. 1396).

3. Opis pomiarów

Metodologia pomiarowa	Pomiary w oparciu o Rozporządzeniem Ministra Klimatu z dnia 17 lutego 2020 r. w sprawie sposobów sprawdzania dotrzymania dopuszczalnych poziomów pól elektromagnetycznych w środowisku (Dz.U. 2020 poz. 258), Dokument PCA DAB-18 „Program akredytacji laboratoriów badawczych wykonujących pomiary pola elektromagnetycznego w środowisku” wyd. 1, Warszawa, 02.02.2017 r.
Cel badań	Określenie wartości natężenia pola elektrycznego w miejscach dostępnych dla ludności.

Opis zestawu pomiarowego	Miernik Narda NBM 550, Sonda EF 9091, o zakresie pomiarowym 0,8 V/m – 300V/m pracująca w paśmie 0,1 – 90 GHz, świadectwo wydane przez Laboratorium Wzorców i Metrologii Pola Elektromagnetycznego, Instytut Telekomunikacji, Teleinformatyki i Akustyki Politechniki Wrocławskiej. Świadectwo ważne do 01.06.2022 r. Miernik Narda NBM 550, Sonda EF 9091 pracująca w zakresie temperatury -10°C - +50°C oraz wilgotności 5% - 95%. Niepewność rozszerzona wynosi 58,8% przy poziomie ufności 95% z uwzględnieniem współczynnika rozszerzenia k=2.
Wyposażenie pomocnicze	Termohigrometr Bestone, typ: GM1362-EN-00, nr identyfikacyjny 1222436, świadectwo wzorcowania z dn. 22.12.2015 r. wydane przez Laboratorium Pomiarowe "MUTECH". Przymiar wstępowy STABILA, nr identyfikacyjny 5/WL/2016, świadectwo wzorcowania z dn. 06.09.2016 r. wydane przez Zespół Laboratoriów wzorcujących Okręgowego Urzędu Miar w Gdańsku. GPS Garmin 64s okresowo sprawdzany w punktach osnowy geodezyjnej klasy 3 na podstawie licencji punktu, zgodnie z procedurą sprawdzeń okresowych IS/PO-16-11/03.
Pomiary zostały wykonane	<ol style="list-style-type: none"> 1. na głównych i pomocniczych kierunkach pomiarowych, na kierunkach zbliżonych do azymutów anten oraz w dodatkowych pionach pomiarowych zgodnie z wymaganiami pkt 12, 13, 14 i 19 załącznika do rozporządzenia Ministra Klimatu z dnia 17 lutego 2020 r. (Dz. U. 2020, poz. 258), 2. na obszarze pomiarowym, dla którego, na podstawie uprzednio wykonanych obliczeń uzyskanych od zleceniodawcy, stwierdzono możliwość występowania pól elektromagnetycznych o poziomach zbliżonych do poziomów dopuszczalnych zgodnie z wymaganiami pkt 5 ppkt 2 oraz pkt 13 ppkt 1 załącznika do rozporządzenia Ministra Klimatu z dnia 17 lutego 2020 r. (Dz. U. 2020, poz. 258). Wyniki obliczeń nie uwzględniały parametrów pracy instalacji innych operatorów występujących na obiekcie bądź w obszarze pomiarowym. 3. w miejscach dostępnych dla ludności. 4. miejsca niedostępne podczas wykonywania pomiarów wskazane zostały w pkt 6 (tabeli wyniki pomiarów) 5. wyniki pomiarów uzyskane zostały przy uwzględnieniu poprawek pomiarowych przekazanych przez zleceniodawcę oraz przy rzeczywistych warunkach pracy instalacji innych operatorów (w przypadku występowania). W takiej sytuacji uwzględniono jednolitą poprawkę pomiarową wynoszącą 2.
Szczególne warunki podczas wykonywania pomiarów	Pomiary wykonane zostały podczas obowiązywania w kraju stanu epidemii, zgodnie z art. 122a ust. 1b Ustawy z dnia 27 kwietnia 2001 r. – Prawo ochrony środowiska (Dz. U. z 2019 r. poz. 1396, z późn. zm.9))
Warunki pracy urządzeń nadawczych	Podczas pomiarów zostały uwzględnione poprawki pomiarowe przekazane przez zleceniodawcę, umożliwiające uwzględnienie maksymalnych parametrów pracy instalacji zgodnie z pkt 7 załącznika do Rozporządzeniem Ministra Klimatu z dnia 17 lutego 2020 r. w sprawie sposobów sprawdzania dotrzymania dopuszczalnych poziomów pól elektromagnetycznych w środowisku (Dz. U. 2020, poz. 258).

4. Zróźnicowanie dopuszczalne poziomy pól elektromagnetycznych.

Zakresy znajdują się w Dzienniku Ustaw z dnia 17 grudnia 2019 r. przedstawione są w tabeli nr 2 (Dz. U. z 2019 r. poz. 2448).

Zakres częstotliwości pola elektromagnetycznego	Parametr fizyczny		
	Składowa elektryczna E (V/m)	Składowa magnetyczna H (A/m)	Gęstość mocy S (W/m ²)
od 400 MHz do 2000 MHz	$1,375 \times f^{0,5}$	$0,0037 \times f^{0,5}$	$f / 200$
od 2 GHz do 300 GHz	61	0,16	10

5. Charakterystyka źródeł PEM.

Zgodnie z informacją otrzymaną od klienta pomiary zostały wykonane przy ustawieniach pochylenia anten zgodnych z pkt. 13, ppkt 2 załącznika do rozporządzenia Ministra Klimatu z dnia 17 lutego 2020 roku.

Tabela 1. Anteny sektorowe - dane otrzymane od klienta

Charakterystyka promieniowania		kierunkowa														
Rzeczywisty czas pracy [h/dobę]		24														
Rodzaj wytwarzanego pola		stacjonarne														
Lp.	Wyszczególnienie	sektor 1					sektor 2					sektor 3				
I	Nadajnik stacji bazowej:															
1	Typ / Producent	DBS / SRAN Huawei														
2	Częstotliwość (pasmo) MHz	2600	800	2100	1800	900	2600	800	2100	1800	900	2600	800	2100	1800	900
3	Maksymalna moc nadawana na sektor [dBm]	52,04	49,03	52,39	52,39	47,78	52,04	49,03	52,39	52,39	47,78	52,04	49,03	52,39	52,39	47,78
II	Obciążenie:															
1	Typ anteny	Huawei ATR4518R6		Huawei ATR4518R6			Huawei ATR4518R6		Huawei ATR4518R6			Huawei ATR4518R6		Huawei ATR4518R6		
2	Producent anteny	Huawei		Huawei			Huawei		Huawei			Huawei		Huawei		
3	Ilość anten	1		1			1		1			1		1		
4	Azymut	100					220					340				
5	Zakres kątów pochylenia anten [°]	0,00-7,00					0,00-6,00					0,00-6,00				
6	Średnie pochylenie anten (ustawione do pomiarów PEM) [°]	3,5					3					3				
7	Wysokość zainstalowania n.p.t. [m] (środek elektryczny anteny)	35,00					35,00					35,00				
8	EIRP [W]	12665		19949			12665		19949			12665		19949		

Tabela 2. Anteny radioliniowe - dane otrzymane od klienta

Charakterystyka promieniowania				kierunkowa			
Rzeczywisty czas pracy [h/dobę]				24			
Rodzaj wytwarzanego pola				stacjonarne			
Lp.	Linia radiowa			Antena			
	typ/producent	częstotliwość pracy [GHz]	moc wyjściowa [dBm]	typ/producent	średnica anteny [m]	azymut [°]	wysokość zainstalowania n.p.t. [m] (środek elektryczny anteny)
1	OPTIX RTN/HUAWEI	23	21	VHLPX2-23/Andrew	0,6	105	36,60
2	OPTIX RTN/HUAWEI	80/23	18/25	A23S80S06/Huawei	0,6	162	35,60
3	OPTIX RTN/HUAWEI	23	18	VHLP2-23/Andrew	0,6	243	35,60
4	OPTIX RTN/HUAWEI	80	18	VHLP2-80/Andrew	0,6	243	35,60
5	OPTIX RTN/HUAWEI	23	21	VHLPX2-23/Andrew	0,6	320	36,20

6. Wyniki pomiarów.

Wyniki pomiarów pól elektromagnetycznych dla celów ochrony środowiska przedstawia poniższa tabela. Piony pomiarowe zostały przedstawione w zał. 2.

Nr PP	Pole-E [V/m]	Pole-E *k _E +U [V/m]	Pole-H [A/m]	Pole-H * k _E +U [A/m]	Wysokość pomiaru [m]	Współrzędne PP x, y	Opis PP	WM _E	WM _H
1	1,1	3,49	0,003	0,009	0,3 - 2,0	53°36'25,6" N 19°15'37,6" E	otoczenie stacji bazowej - 300 m wzdłuż gł. osi promieniowania - GKP	0,127	0,127
2	1,2	3,81	0,003	0,010	0,3 - 2,0	53°36'25,3" N 19°15'40,3" E	otoczenie stacji bazowej - 350 m wzdłuż gł. osi promieniowania - GKP	0,139	0,138
3	1,3	4,13	0,003	0,011	0,3 - 2,0	53°36'26,2" N 19°15'19,8" E	otoczenie stacji bazowej - 50 m wzdłuż gł. osi promieniowania - GKP	0,150	0,150
4	1,0	3,18	0,003	0,008	0,3 - 2,0	53°36'24,9" N 19°15'18,1" E	otoczenie stacji bazowej - 100 m wzdłuż gł. osi promieniowania - GKP	0,115	0,115
5	0,7*	2,54	0,002	0,007	0,3 - 2,0	53°36'23,6" N 19°15'16,3" E	otoczenie stacji bazowej - 150 m wzdłuż gł. osi promieniowania - GKP	0,092	0,092
6	0,7*	2,54	0,002	0,007	0,3 - 2,0	53°36'22,4" N 19°15'14,6" E	otoczenie stacji bazowej - 200 m wzdłuż gł. osi promieniowania - GKP	0,092	0,092
7	1,4	4,45	0,004	0,012	0,3 - 2,0	53°36'18,7" N 19°15'09,4" E	otoczenie stacji bazowej - 350 m wzdłuż gł. osi promieniowania - GKP	0,162	0,162
8	0,7*	2,54	0,002	0,007	0,3 - 2,0	53°36'35,0" N 19°15'16,8" E	otoczenie stacji bazowej - 250 m wzdłuż gł. osi promieniowania - GKP	0,092	0,092
9	1,2	3,81	0,003	0,010	0,3 - 2,0	53°36'36,6" N 19°15'16,0" E	otoczenie stacji bazowej - 300 m wzdłuż gł. osi promieniowania - GKP	0,139	0,138
10	1,2	3,81	0,003	0,010	0,3 - 2,0	53°36'38,0" N 19°15'15,1" E	otoczenie stacji bazowej - 350 m wzdłuż gł. osi promieniowania - GKP	0,139	0,138
11	0,7*	2,54	0,002	0,007	0,3 - 2,0	53°36'24,4" N 19°15'23,3" E	otoczenie stacji bazowej - 100 m wzdłuż gł. osi promieniowania - GKP	0,092	0,092
12	0,7*	2,54	0,002	0,007	0,3 - 2,0	53°36'28,8" N 19°15'20,0" E	otoczenie stacji bazowej - 50 m wzdłuż gł. osi promieniowania - GKP	0,092	0,092
A	1,2	3,81	0,003	0,010	0,3 - 2,0	53°36'26,2" N 19°15'23,2" E	Wojska Polskiego 27, pomiar przy budynku - DPP	0,139	0,138
A1	1,1	3,49	0,003	0,009	0,3 - 2,0	53°36'27,3" N 19°15'23,2" E	salon fryzjerski, pomiar przy budynku - DPP	0,127	0,009
B	0,9	2,86	0,002	0,008	0,3 - 2,0	53°36'25,9" N 19°15'22,3" E	Wojska Polskiego 29, pomiar przy budynku - DPP	0,104	0,104
C	0,8	2,54	0,002	0,007	0,3 - 2,0	53°36'25,4" N 19°15'20,8" E	Wojska Polskiego 31, pomiar przy budynku - DPP	0,092	0,092
D	0,7*	2,54	0,002	0,007	0,3 - 2,0	53°36'24,5" N 19°15'21,5" E	Wojska Polskiego 35, pomiar przy budynku - DPP	0,092	0,092
E	0,7*	2,54	0,002	0,007	0,3 - 2,0	53°36'25,7" N 19°15'24,4" E	ul. Wiktora 2, pomiar przy budynku - DPP	0,092	0,092

„Bez pisemnej zgody Laboratorium niniejsze sprawozdanie nie może być powielane inaczej, jak tylko w całości. Ponadto wyniki dotyczą tylko badanych obiektów przywołanych w niniejszym sprawozdaniu z badań”

Nr PP	Pole-E [V/m]	Pole-E *k _E +U [V/m]	Pole-H [A/m]	Pole-H * k _E +U [A/m]	Wysokość pomiaru [m]	Współrzędne PP x, y	Opis PP	WM _E	WM _H
F	0,7*	2,54	0,002	0,007	0,3 - 2,0	53°36'25,0" N 19°15'24,7" E	ul. Wiktora 4, pomiar przy budynku - DPP	0,092	0,092
G	0,7*	2,54	0,002	0,007	0,3 - 2,0	53°36'25,6" N 19°15'25,3" E	ul. Wiktora 1, pomiar przy budynku - DPP	0,092	0,092
H	1,4	4,45	0,004	0,012	0,3 - 2,0	53°36'26,8" N 19°15'25,2" E	Wojska Polskiego 25, pomiar przy budynku - DPP	0,162	0,162
I	0,7*	2,54	0,002	0,007	0,3 - 2,0	53°36'23,3" N 19°15'26,3" E	Wojska Polskiego 23, pomiar przy budynku - DPP	0,092	0,092
J	0,7*	2,54	0,002	0,007	0,3 - 2,0	53°36'27,7" N 19°15'28,9" E	Wojska Polskiego 21, pomiar przy budynku - DPP	0,092	0,092
K	0,7*	2,54	0,002	0,007	0,3 - 2,0	53°36'26,5" N 19°15'29,2" E	Jagiellońska 8, pomiar przy budynku - DPP	0,092	0,092
L	0,7*	2,54	0,002	0,007	0,3 - 2,0	53°36'26,4" N 19°15'31,0" E	Jagiellońska 9, pomiar przy ogrodzeniu - DPP	0,092	0,092
M	0,7*	2,54	0,002	0,007	0,3 - 2,0	53°36'26,1" N 19°15'33,4" E	ul. Kwiatowa 1, pomiar przy ogrodzeniu - DPP	0,092	0,092
N	0,7*	2,54	0,002	0,007	0,3 - 2,0	53°36'25,7" N 19°15'35,1" E	ul. Kwiatowa 4, pomiar przy budynku - DPP	0,092	0,092
O	1,0	3,18	0,003	0,008	0,3 - 2,0	53°36'25,9" N 19°15'36,1" E	ul. Kwiatowa 6, pomiar przy ogrodzeniu - DPP	0,115	0,115
R	1,1	3,49	0,003	0,009	0,3 - 2,0	53°36'24,9" N 19°15'19,4" E	Wojska Polskiego 33, pomiar przy budynku - DPP	0,127	0,127
S	0,7*	2,54	0,002	0,007	0,3 - 2,0	53°36'24,0" N 19°15'20,7" E	Wojska Polskiego 37, pomiar przy budynku - DPP	0,092	0,092
T	1,1	3,49	0,003	0,009	0,3 - 2,0	53°36'28,0" N 19°15'24,4" E	ul. Rodziny Stangów 2, pomiar przy budynku - DPP	0,127	0,127
U	0,8	2,54	0,002	0,007	0,3 - 2,0	53°36'29,0" N 19°15'24,0" E	ul. Rodziny Stangów 4, pomiar przy budynku - DPP	0,092	0,092
V	0,7*	2,54	0,002	0,007	0,3 - 2,0	53°36'30,0" N 19°15'23,6" E	ul. Rodziny Stangów 6, pomiar przy budynku - DPP	0,092	0,092
W	0,8	2,54	0,002	0,007	0,3 - 2,0	53°36'29,2" N 19°15'21,9" E	ul. Rodziny Stangów 3/5, pomiar przy budynku - DPP	0,092	0,092
X	1,2	3,81	0,003	0,010	0,3 - 2,0	53°36'29,3" N 19°15'20,5" E	ul. Sportowa 2, pomiar przy budynku - DPP	0,139	0,138
Y	0,7*	2,54	0,002	0,007	0,3 - 2,0	53°36'30,1" N 19°15'19,5" E	ul. Daszyńskiego 15, pomiar przy budynku - DPP	0,092	0,092
Z	0,7*	2,54	0,002	0,007	0,3 - 2,0	53°36'33,3" N 19°15'18,1" E	ul. Daszyńskiego 16, pomiar przy budynku - DPP	0,092	0,092
a	1,1	3,49	0,003	0,009	0,3 - 2,0	53°36'27,2" N 19°15'17,9" E	ul. Sportowa 1, pomiar przy budynku - DPP	0,127	0,127
a1	1,3	4,13	0,003	0,011	0,3 - 2,0	53°36'26,4" N 19°15'18,6" E	ul. Sportowa 1a, pomiar przy budynku - DPP	0,150	0,150
b	1,2	3,81	0,003	0,010	0,3 - 2,0	53°36'20,6" N 19°15'12,3" E	ul. Kolejowa 2, pomiar przy budynku - DPP	0,139	0,138
c	0,7*	2,54	0,002	0,007	0,3 - 2,0	53°36'19,2" N 19°15'10,4" E	ul. Kolejowa 4a, pomiar przy budynku - DPP	0,092	0,092
d	0,7*	2,54	0,002	0,007	0,3 - 2,0	53°36'32,3" N 19°15'18,6" E	ul. Daszyńskiego 14, pomiar przy budynku - DPP	0,092	0,092

Wynik pomiaru pole - E [V/m] - maksymalna wartość chwilowa zmierzona w danym pionie pomiarowym (uśredniona na podstawie punktu 11 Załącznika do Rozporządzenia Ministra Zdrowia).

Przyjęto najniższą dopuszczalną wartość składowej elektrycznej pola dla objętego pomiarami zakresu częstotliwości min(MEgr)= 28 V/m oraz składowej magnetycznej min(MHgr)= 0,073 A/m.

* - wartość zmierzona poniżej zakresu akredytacji. Do obliczeń przyjęto wartość zgodną z dolną granicą akredytowanego zakresu pomiarowego metody.

GKP - główne kierunki pomiarowe

PKP - pomocnicze kierunki pomiarowe

DPP - dodatkowe punkty pomiarowe

PP - pion pomiarowy

„Bez pisemnej zgody Laboratorium niniejsze sprawozdanie nie może być powielane inaczej, jak tylko w całości. Ponadto wyniki dotyczą tylko badanych obiektów przywołanych w niniejszym sprawozdaniu z badań”

03/04/OŚ/2022-P4

Strona 7 z 11

- U - niepewność rozszerzona wynosi 58,8% przy poziomie ufności 95% z uwzględnieniem współczynnika rozszerzenia $k=2$.
- k_E - poprawka pomiarowa badanej instalacji radiokomunikacyjnej podana przez operatora ($k_E=1,7$),
poprawka pomiarowa w przypadku oddziaływania innych instalacji radiokomunikacyjnych na badany obszar ($k_E=2,0$)
- WM_E - wartość wskaźnikowa poziomu emisji pól elektromagnetycznych dla miejsc dostępnych dla ludności dla składowej elektrycznej pola
- WM_H - wartość wskaźnikowa poziomu emisji pól elektromagnetycznych dla miejsc dostępnych dla ludności dla składowej magnetycznej pola

7. Stwierdzenie zgodności

Na podstawie wytycznych podanych w Rozporządzeniu Ministra Zdrowia z dnia 17 grudnia 2019 r. w sprawie dopuszczalnych poziomów pól elektromagnetycznych w środowisku (Dz.U. 2019 poz. 2448) oraz sposobów sprawdzania dotrzymania tych poziomów zgodnie z Rozporządzeniem Ministra Klimatu z dnia 17 lutego 2020 r. w sprawie sposobów sprawdzania dotrzymania dopuszczalnych poziomów pól elektromagnetycznych w środowisku (Dz.U. 2020 poz. 258) dotyczących źródła wymagań, które muszą być spełnione (załącznik do rozporządzenia Ministra Klimatu z dnia 17 lutego 2020 r. (poz. 258)), w oparciu o zasadę podejmowania decyzji zgodną z pkt 26 załącznika do rozporządzenia Ministra Klimatu z dnia 17 lutego 2020 r. (poz. 258), na podstawie wyników pomiarów pól elektromagnetycznych wykonanych w dniu 07.04.2022 stwierdzono, iż w miejscach dostępnych dla ludności, dopuszczalne poziomy pól elektromagnetycznych w środowisku, określone w przepisach wydanych na podstawie art. 122 ust. 1 ustawy z dnia 27 kwietnia 2001 r. – Prawo ochrony środowiska, uznaje się za dotrzymane w obszarze pomiarowym, w którym w wyniku zastosowania sposobu sprawdzenia dotrzymania dopuszczalnych poziomów pól elektromagnetycznych w środowisku, udokumentowano, że żadna z wartości wskaźnikowych nie przekracza wartości 1.

8. Oświadczenie.

Wyniki badania odnoszą się wyłącznie do badanego obiektu.

Bez pisemnej zgody sprawozdanie nie może być powielane inaczej, jak tylko w całości.

Uwagi i zastrzeżenia przyjmowane są w formie pisemnej w ciągu 14 dni od daty otrzymania sprawozdania.

9. Spis załączników.

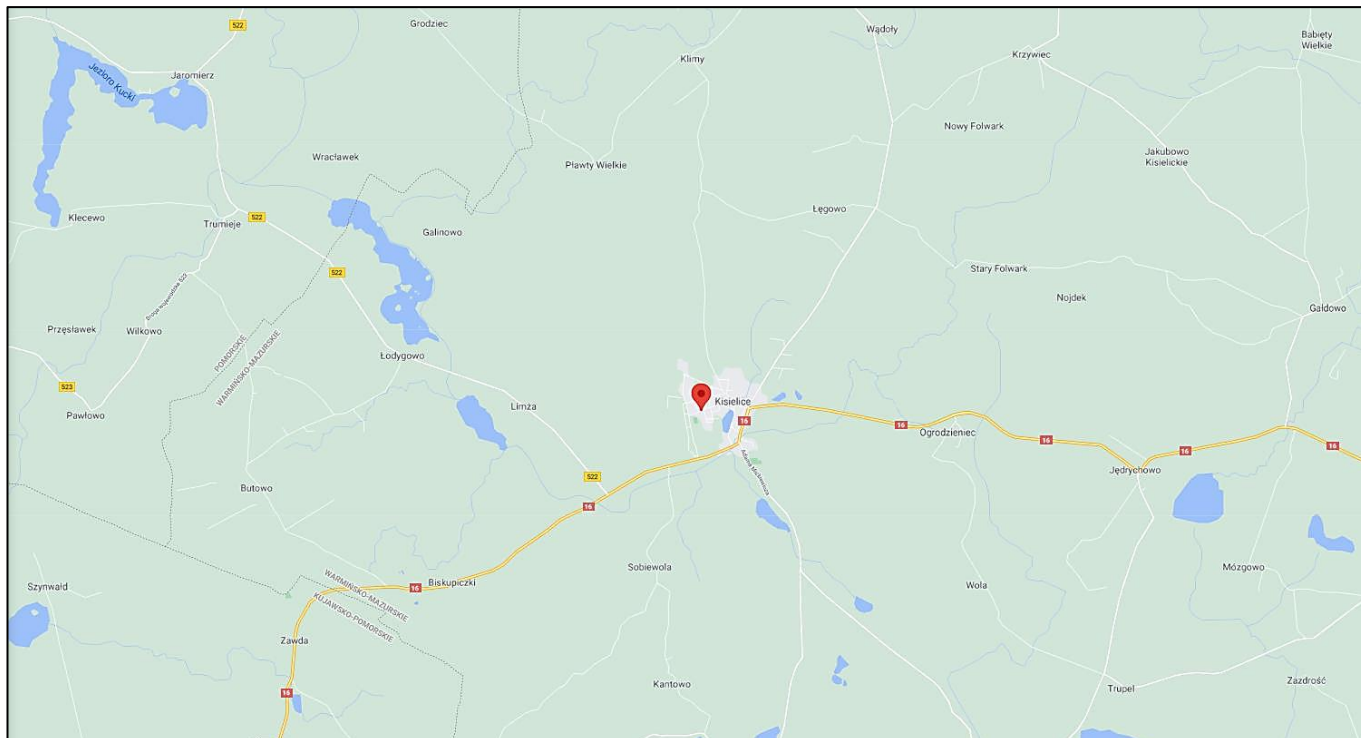
Zał. 1. Lokalizacja obiektu.

Zał. 2. Widok pionów pomiarowych

Zał. 3. Widok stacji bazowej

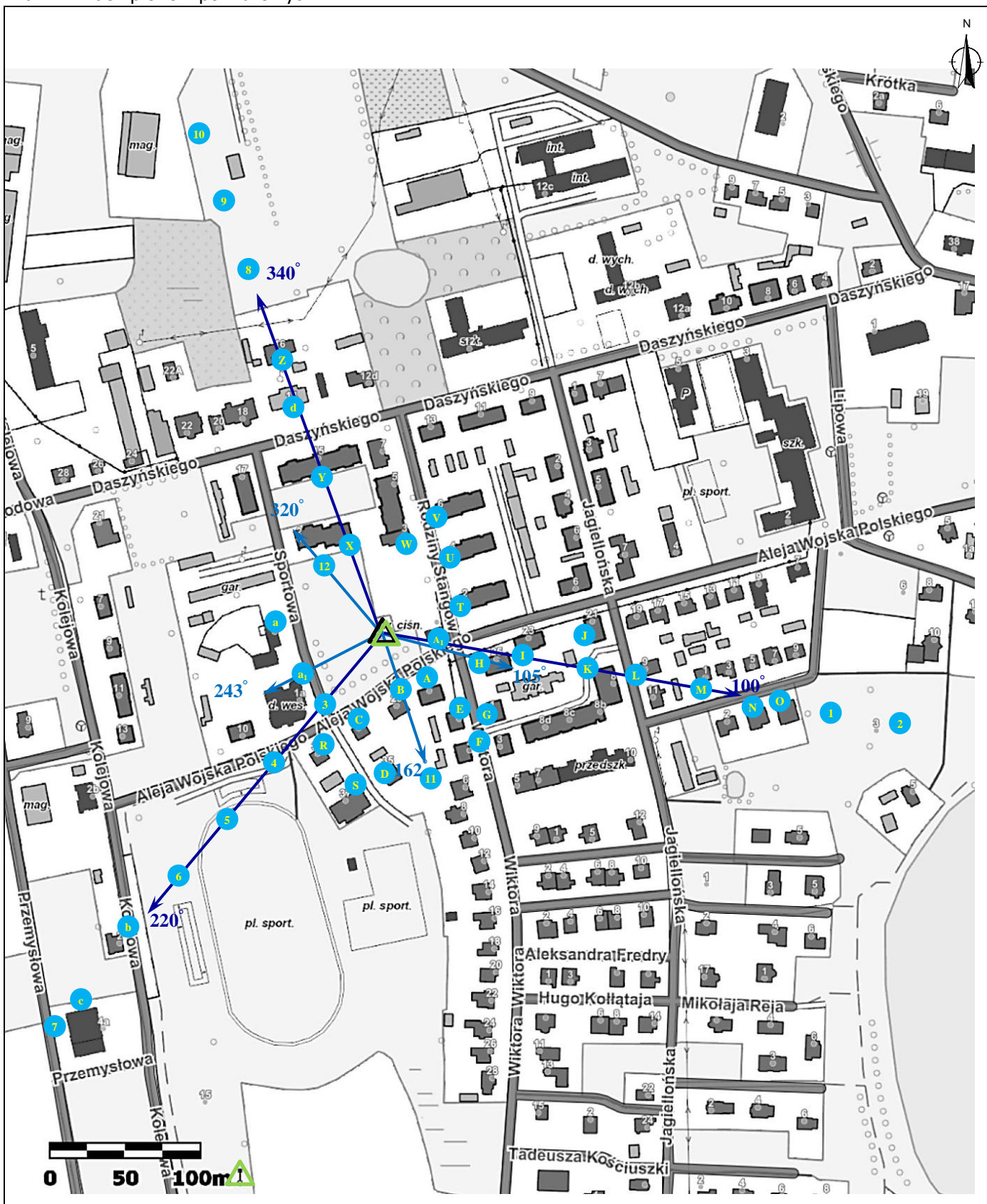
Koniec sprawozdania

Załącznik 1. Lokalizacja obiektu



Współrzędne geograficzne	
długość:	19°15'22.20"E
szerokość:	53°36'26.90"N

Załącznik 2. Widok pionów pomiarowych



LEGENDA:

- instalacja radiokomunikacyjna
- inna instalacja radiokomunikacyjna
- brak dostępu
- pion pomiarowy ze współczynnikiem podanym przez operatora
- pion pomiarowy w zasięgu innej instalacji radiokomunikacyjnej ze współczynnikiem 2
- Odległość, do której zostały wykonane pomiary, mierząc od instalacji antenowej, wynosi min. 350 m
- antena sektorowa
- antena radioliniowa

Skala 1: 5000

Załącznik 3. Załączniki graficzne

